GEOLOGISK KART OVER ROGALAND ANORTOSITTPROVINS

Målestokk 1 : 75 000

Mogens Marker, Henrik Schiellerup, Gurli B. Meyer, Brian Robins og Olivier Bolle

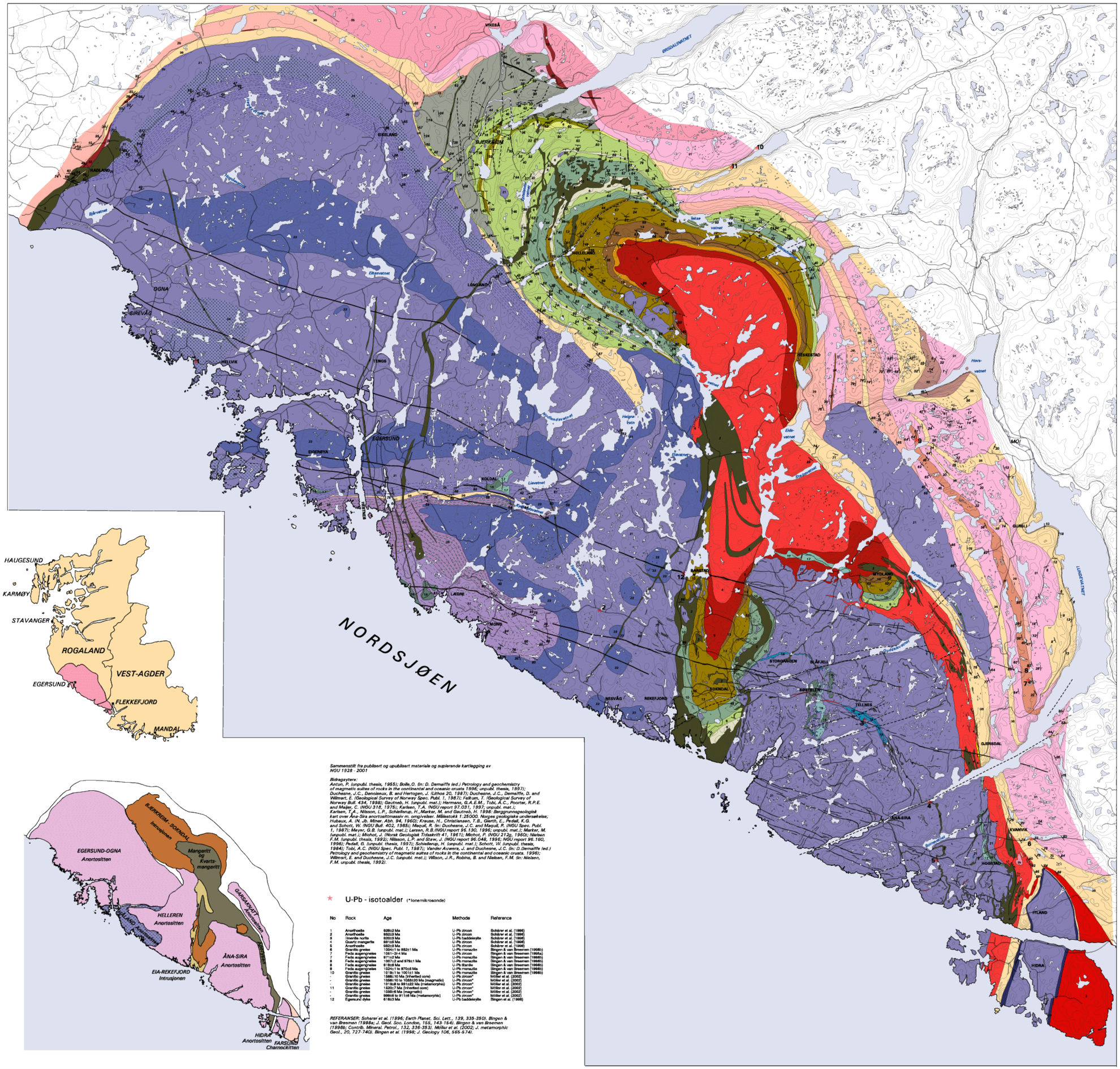

TEGNFORKLARING

EGERSUND GANGSVERM

- Doleritt

DYPBERGARTER AV JOTUNITTISK TIL CHARNOCKITTISK SAMMENSETNING

- 2 Jotunittisk til mangerittisk gang, lokalt med norittisk eller kvarts-mangerittisk facies, eller jotunittisk intrusjon (Eia-Rekefjord intrusjon)
- 3 Charnokitt
- 4 Kvarts-mangeritt med underordnet mangeritt og charnockitt
- 5 Mangeritt

BJERKREIM-SOKNDAL INTRUSJONEN - DEN LAGDELTE SERIEN*

Anortosittiske til troktolittiske bergarter

- 6 Leukotroktolitt og troktolitt (poimC). Sone IIb, IIIb og IVb. Leukonoritt og anortositt (pC og piC), noritt (phiC), underordnet ilmenitt, pyroksenitt (hiC) og ilmenittrike kumulater (ihC). Melanoritt og olivin-melanoritt (hpim +/- oC) mellom Teksevatnet og Bilstadvatnet. Sone IIIa og IVa
- 7 Leukonoritt og anortositt (pC og piC) Sone IAa og IBa
- 8 Ilmenitt-magnetitt leukonoritt og anortositt (pimC) Sone IIa og bergarter langs intrusjonsmarginen

Leukonorittiske, norittiske og anortosittiske bergarter

- 9 Ilmenitt-noritt/-leukonoritt (phiC) Sone c
- 10 Magnetitt-ilmenitt noritt/leukonoritt (phmiC) Sone IIId og IVd

Gabbro-norittiske bergarter

- 11 Ilmenitt gabbronoritt (phciC) Undre del av Sone IBe
- 12 Magnetitt-ilmenitt gabbronoritt med apatitt (phcimaC). Sone IIIe og IVe samt øvre del av Sone IBe
- 13 Magnetitt-ilmenitt gabbronoritt med invertert pigeonitt (ph'cimaC). Sone IVf

Jotunittiske bergarter

- 14 Jotunittiske kumulater med Fe-rik olivin (p'hcoimaC). Overgangssone
- 15 Jotunitt (Grensefacies)

ANDRE NORITTISKE DYPBERGARTER

- 16 Noritt og pyroksenitt, lagdelt med litt ilmenitt, også norittisk gang
- 17 Leukonoritt, stort sett uten lagdeling
- 18 Lagdelt/ikke lagdelt noritt, rik på ilmenitt/ilmenittisk malm
- 19 Norittisk pegmatitt

ANORTOSITT-MASSIVER

- 20 Anortositt, intrudert av agmatittisk leukonoritt
- 21 Anortositt, overveiende massiv, tildels leukonorittisk
- 22 Leukonoritt, massiv
- 23 Jotunitt (randsone til Hidra-massivet)
- 24 Anortositt, med tallrike uorienterte mega-krystaller av ortopyroksen
- 25 Anortositt og leukonoritt, foliert
- 26 Anortositt med "pseudo-inneslutninger" av leukonoritt, foliert
- 27 Anortositt og leukonoritt i veksling, lagdelt

GRANULITT-FACIES - METAMORFE BERGARTER (GNEISER)

- 28 Porfyrittisk metagranitt, foliert (Fedasuiten)
- 29 Porfyrittisk metagranitt, foliert
- 30 Metagranitt, pegmatittrik, grov-til middelskornet
- 31 Granittisk gneis, grå, svakt foliert
- 32 Pelittisk gneis, granat- og silimanittførende
- 33 Kvartsitt
- 34 Amfibolitt, ortopyroksen-førende
- 35 Migmatittisk gneis, lys grå
- 36 Båndet gneis. Forskjellige faser av grå granittisk gneis med enkelte amfibolittiske (norittiske) og metasedimentære (pelitt, kvartsitt) bånd. Velutviklet planstruktur og varierende innhold av lysegrå, granittiske bånd

STRUKTURTEGN

- -------- Forkastning
- ^{72} Foliasjon/modal lagdeling med fall angitt
- ^{48} Mineral-laminasjon med fall angitt

* Bjerkreim-Sokndal intrusjonen er inndelt i sykliske enheter (O, IA, IB, II, III, IV), som hver består av et antall soner med kumulater (a-f) definert ved indeksmineralogier (Wilson et al., 1996). Bergarts-terminologien følger standard kumulat-nomenklatur:

p: plagioklas	h: Ca-fattig pyroksen	c: Ca-rik pyroksen
o: olivin	h': invertert pigeonitt	i: ilmenitt
m: magnetitt	a: apatitt	C: -kumulat

0 — 5 — 10

Kilometer

NGU Special Publication 9 - Marker et al. - Plate 1

Teknisk kartansvarlig: Torbjørn Sørdal

Kartgrunnlag: Statens Kartverk Database N250

NGU mai 2003.